

長崎大学 (正) 武政剛弘  
長崎大学 (正) 深田三夫

### 1. まえがき

アスファルト舗装の施工および維持管理において、路体中の温度を時間的に場所的に予測することが重要な課題と考えられるが、表面付近の温度変動に対して明確に把握がなされない報告が少ないようだと思われる。我々の報告は、鹿児島県国分市広瀬一般国道10号線で表層10cmで下層ガソイルセメントと粒調砕石があり、表層のアスファルト道路において、昭和42年～43年に建設省が行なった実測データをまとめたものである。

### 2. 理論および結果

地表面を  $x=0$  として、深さ方向（鉛直下方）に  $x$  軸をとる。そして上層の厚さを  $d$  として、上下層の鉄質率の特性すらも、熱伝導係数、熱容量、密度、熱抵抗係数を上層トロッカ、サフィックス1、下層トロッカサフィックス2とそれぞれ入、 $C_1, P_1, \alpha_1$  の記号をもつて表わし、熱流は  $x$  方向のみ生じると仮定して、同時にみて往復実験における温度を  $T(x, t)$  とすると、熱流の連続の方程式は、上下層をもれ

$$\frac{\partial^2 T_1}{\partial x^2} = \alpha_1 \frac{\partial^2 T_1}{\partial x^2}, \quad 0 \leq x \leq d \quad (1)$$

$$\frac{\partial^2 T_2}{\partial x^2} = \alpha_2 \frac{\partial^2 T_2}{\partial x^2}, \quad d \leq x \quad (2)$$

とえられる。上式を境界面においては、温度および熱流が連続であり、十分深い所においては平均温度となるという境界条件を考慮して、表面の温度を

$$T_1(0, t) = T_m + T_0 \sin(\omega t + \varepsilon_0) \quad (3)$$

とえて解く。

$$T_1(x, t) = T_m + A_1 \exp(-x/d_1) \sin(\omega t - x/d_1 + \varepsilon_1) + A'_1 \exp(x/d_1) \sin(\omega t + x/d_1 + \varepsilon_1') \quad (4)$$

$$T_2(x, t) = T_m + A_d \exp(-(x-d)/d_2) \sin\{\omega t - (x-d)/d_2 + \varepsilon_2\} \quad (5)$$

を得る。ここで  $A_d$  は境界面における温度振幅であり、 $D$  は damping depth と呼ぶ。

$$D = \sqrt{2\lambda/C_P\omega} = \sqrt{2\alpha/\omega} = \sqrt{T_0/\pi\omega} \quad (6)$$

であるから、 $D$  が深くなると振幅は元の  $1/e$  に減衰する。したがって(4), (5)式の係数の詳細は以下のようである。

$$A_1 = T_0 [1 + \gamma_1^2 e^{-4d_1} + 2\gamma_1 e^{-2d_1} \cos(2d_1/\alpha)]^{1/2} \quad (7)$$

$$A'_1 = T_0 [1 + \gamma_1^2 e^{-4d_1} + 2\gamma_1 e^{2d_1} \cos(2d_1/\alpha)]^{-1/2} = A_1 \gamma_1 e^{-2d_1} \quad (8)$$

$$A_d = A_1 (1 + \gamma_1) e^{-d_2} \quad (9)$$

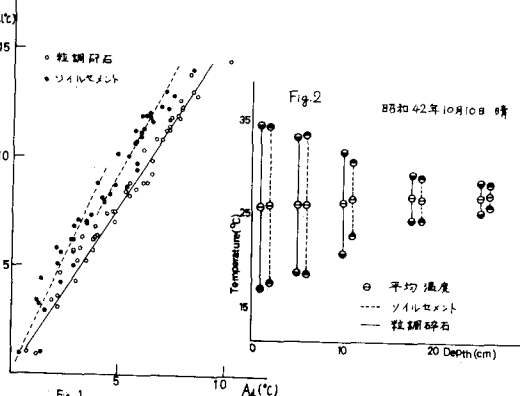
$$\gamma_1 = (\sqrt{\lambda_1 C_P} - \sqrt{\lambda_2 C_P}) / (\sqrt{\lambda_1 C_P} + \sqrt{\lambda_2 C_P}) \quad (10)$$

底層中の減衰が下層の鉄質率をもつて、ガソイルセメント、粒調砕石と相異なり、で顕著に現われているのでこれを Fig. 1 に示す。今この温度振幅の減衰を式より計算すると、(7), (9) 式を使用して、 $T_0/d_1 = 8$ ,  $2d_1/\alpha = 0$ ,  $C_1P_1 = C_2P_2$  を仮定して  $\gamma_1 = \sqrt{2G_P}/\sqrt{\lambda_1 C_P} = \sqrt{\alpha}/\sqrt{\lambda_1}$  に置き換えると、

$$\theta^2 = \frac{1}{2} (\cosh \theta - \cos \theta)^2 + \sinh \theta \cdot \frac{1}{2} (\cosh \theta + \cos \theta) \quad (11)$$

$$(\theta, \gamma > 0, \cosh \theta > \cos \theta)$$

を得る。(11)式は勾配二次曲線であり、上層の  $\alpha_1$  が同じで下層の  $\alpha_2$  が大きくなると  $\theta$  が増加して  $\gamma$  が増大する。以上より Fig. 1 で考えてみると、明らかに粒調砕石の  $\gamma$  がガソイルセメントに比して小さくなっている。又下層においては、 $\alpha$  が小さいと damping depth が小さくなる、温度振幅の減衰が大きくなる。これによるとガソイルセメントと粒調砕石の温度振幅の減衰を示す Fig. 2 にも頗る似た現象である。



参考文献 1) Van Wijk, W. R. and Derkson, W. J.: Physics of Plant Environment; North-Holland Publishing Co., Amsterdam, 1963, p. 172-176.

2) 武政・深田: ガソイルセメントによる二層構造の熱伝導について、長崎工業高等専門学校研究報告第63号。